

10

© 1991

## ПРИМЕНЕНИЕ ОБРАБОТКИ МОЩНЫМИ ИОННЫМИ ПУЧКАМИ ДЛЯ РЕМОНТА И ОЧИСТКИ ИЗДЕЛИЙ

В.А. Шулов, Г.Е. Ремнев,  
 Н.А. Ночевная, И.Ф. Исааков,  
 И.Г. Полякова, Н.И. Шабанов

В последние годы мощные ионные пучки (МИП) с плотностью мощности на мишени ( $10^7$ - $10^9$  Вт/см<sup>2</sup>) находят все большее применение в различных областях прикладных исследований.

Такие характеристики МИП как, сравнительно большое поперечное сечение пучков ( $10^1$ - $10^3$  см<sup>2</sup>), короткая длительность воздействия ( $10^{-8}$ - $10^{-6}$  с), малая глубина ( $\sim 1$  мкм) и высокий коэффициент поглощения энергии твердым телом наряду со сравнительно высоким коэффициентом полезного действия соответствующих ускорителей ( $\sim 20$ - $40$  %) открывают большие возможности их практического использования. Сюда можно отнести прямое упрочнение изделий и режущего инструмента [1], легирование и отжиг полупроводников [2], упрочнение жаропрочных сплавов [3], получение тонких металлических ВТСП, люминесцентных ( $ZnS$ ) пленок [4, 5].

В данной статье сообщается об экспериментальных результатах по использованию МИП для целей очистки изделий, бывших в эксплуатации, от нагара, оксидных слоев. Исследования проведены на лопатках газотурбинного двигателя. Облучение проводилось на технологическом ускорителе „Темп” ( $e \cdot U = 300$  кэВ,  $j_i = 40$ - $160$  А/см<sup>2</sup>,  $t_u = 60$  нс). Режимы варьировались только изменением плотности тока на мишени и числом импульсов  $n \geq 3$ . Однородность МИП по сечению определялась коллимированным цилиндром Фарадея. После обработки МИП лопатки отжигались в вакууме  $10^{-5}$  мм рт. ст. при температурах их эксплуатации.

Лопатки, прошедшие наработку на двигателе, обработку МИП и термообработку, испытывались на усталостную прочность, сопротивление пылевой эрозии и сопротивление горячей солевой коррозии. Некоторые результаты исследования физико-химического состояния поверхности серийных и обработанных МИП лопаток приведены на рис. 1-2 и в таблице.

Из них следует:

1. В процессе эксплуатации происходит окисление приповерхностных слоев сплавов с формированием оксидов титана (ВТ18У и ВТ9), железа и хрома (ЭП866Ш и ЭП718ИД), а также шпинелей, причем глубины проникновения кислорода в матричные слои достигают 40-80 мкм.

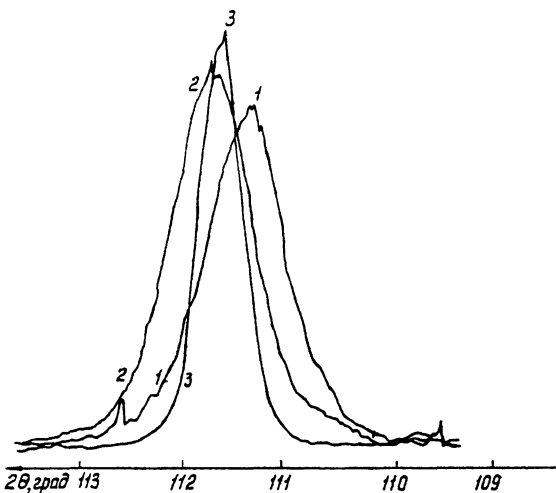


Рис. 1. Фрагменты дифрактограмм лопаток из стали ЭП866Ш: 1 - серийные, 2 - облучение МИП Э ( $j = 120 \text{ A}/\text{см}^2$ ,  $n = 5$  имп), 3 - облучение МИП ( $j = 120 \text{ A}/\text{см}^2$ ,  $n = 5$  имп) и диффузионный вакуумный отжиг ( $600^\circ\text{C}$ , 2 ч).

2. Обработкой ионным пучком при  $j_i = 80-160 \text{ A}/\text{см}^2$  и  $n = 1$  имп удается удалить оксидные слои толщиной 0.1 (титановые сплавы) и  $\leq 40$  мкм (ЭП866Ш) и (ЭП718ИД) и сформировать мелкодисперсные выделения карбидов (или оксикарбидов) на глубине до 0.2 мкм.

3. Финишная термообработка позволяет "идеализировать" кристаллическую решетку в слое толщиной 5 мкм (резко сужаются дифракционные линии и уменьшается межплоскостное расстояние), зафиксировать высокую однородность распределения  $\alpha$ -пластина в пределах каждой  $\alpha$ -колонии (ВТ18У), сформировать равноосные зерна размером 40 мкм с четко очерченными границами вплоть до их выхода непосредственно на поверхность.

4. При высоких плотностях ионного тока ( $j_i > 80 \text{ A}/\text{см}^2$ ) на поверхности лопаток проявляются кратеры травления, размеры, форма и количество которых определяются значениями плотности тока и числа импульсов, а также материалом мишени, причем возможно получение совокупности кратеров с дальним порядком.

5. Существуют режимы, когда при облучении кратеры не образуются, а идет избирательное травление фазовых составляющих сплава с формированием четко проявляющейся на поверхности структуры материала.

6. С увеличением  $j_i$  от 40 до  $80-100 \text{ A}/\text{см}^2$  монотонно возрастает шероховатость и уменьшается микротвердость.

7. Облучение с  $j_i = 100-160 \text{ A}/\text{см}^2$  позволяет снизить шероховатость поверхности с 0.25-0.20 мкм до 0.10-0.06 мкм и увели-

Физико-химическое состояние поверхности полоток из сплавов  
BT18У и ЭП718ИД после наработки 1000 и 660 ч соответственно

Сплав	Обработка	$h_0$ , мкм	$\Gamma_{1/2}(hkl)$ , град, $\pm 0.04$	НМ, ед. НВ	$\rho_\alpha$ , мкм	Фазовый состав
BT18У	Наработка	$70 \pm 5$	$1.15(112)$	700-800	0.19	$TiO_2 - \alpha - Ti - O$
BT18У	МИП ( $j=40$ , А/см <sup>2</sup> )	$65 \pm 5$	$1.12(112)$	680-750	0.20	$TiO_2 - \alpha - Ti - O$
BT18У	МИП ( $j=80$ , А/см <sup>2</sup> )	$65 \pm 5$	$1.19(112)$	600-650	0.24	$TiO_2 - \alpha - Ti - O$
BT18У	МИП ( $j=120$ , А/см <sup>2</sup> )	$60 \pm 5$	$1.24(112)$	300-340	0.12	$\alpha - Ti - O$
BT18У	МИП ( $j=120$ , А/см <sup>2</sup> , отжиг (550 °C, 2ч))	$60 \pm 5$	$0.84(112)$	420-480	0.11	Карбиды, оксикар- биды
ЭП718ИД	Наработка	$65 \pm 5$	$1.23(111)$	-	0.31	$\rho_{\beta_3} \rho_{\gamma} \rho_{r_2} \rho_3 \rho_{CrO_4}$
ЭП718ИД	МИП (100 А/см <sup>2</sup> )	$5 \pm 5$	$1.27(111)$	360-400	0.10	$\gamma$ -фаза
ЭП718ИД	МИП (100 А/см <sup>2</sup> , отжиг (650 °C, 2 ч))	$5 \pm 5$	$0.86(111)$	430-500	0.09	$\gamma$ -фаза карбиды, оксикарбиды

$h_0$  – толщина окисленного слоя,  $\Gamma_{1/2}(hkl)$  – полуширина рентгеновской линии ( $hkl$ ), НМ – микротвер-  
дость,  $\rho_\alpha$  – шероховатость.

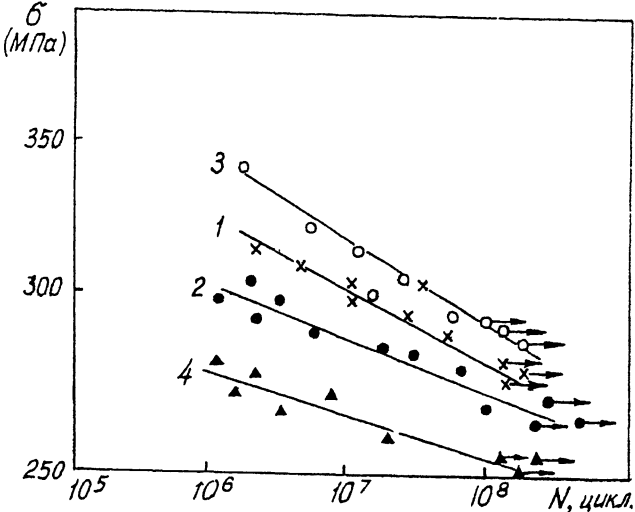


Рис. 2. Усталостные кривые для лопаток из сплава ЭП718ИД ( $F=3300$ ,  $T=650$  °C): 1 – серийные лопатки, 2 – серийные лопатки после 660 час наработки на двигателе, 3 – лопатки после 600 ч наработки на двигателе, облучения МИП ( $j=120$  A/cm<sup>2</sup>;  $n \geq 3$  имп) и диффузационного отжига (650 °C, 2 ч), 4 – лопатки после 660 ч наработки на двигателе, облучения МИП ( $j=160$  A/cm<sup>2</sup>,  $n \geq 3$  имп) и диффузационного отжига (650 °C, 2 ч).

чить микротвердость от 300–400 ед. HV до 430–500 ед. HV (после диффузационного отжига).

Очевидно, что полученные в результате обработки МИП изменения в физико-химическом состоянии поверхностного слоя должны сказаться на эксплуатационных свойствах деталей. Это подтверждается результатами испытаний на усталостную прочность, сопротивление эрозии и солевой коррозии. Видно, что с помощью ионно-лучевой обработки МИП прошедших наработку лопаток из сплавов ВТ9, ВТ18У, ЭП718ИД и ЭП866Ш удается повысить указанные служебные характеристики, по крайней мере, до уровня исходных серийных деталей. Тем самым МИП позволяет осуществить не просто удаление окисленных при наработке поверхностных слоев лопаток, а добиваться, наряду с этим, существенного улучшения эксплуатационных свойств изделий, рис. 2.

В то же время следует подчеркнуть, что обработка с применением МИП может привести и к ухудшению свойств изделий. Причинами этого являются: процессы кратерообразования, окисление приповерхностных слоев во время диффузационного отжига (особенно титановых сплавов при относительно низком вакууме), ошибочный выбор режимов облучения данного конкретного материала (прежде всего плотности тока и числа импульсов).

С помощью МИП могут быть удалены „отработанные” защитные покрытия как на лопатках компрессора и турбины с последующим нанесением новых покрытий, так и на других изделиях. Принципиальная возможность этого показана в данной статье. Высокая производительность установки ( $\sim 1 \text{ м}^2/\text{ч}$ ), экологическая чистота метода, малые удельные энергозатраты, могут служить основой практического использования метода.

### С п и с о к л и т е р а т у р ы

- [1] Лигачев А.Е., Погребняк А.Д., Ремнев Г.Е., Чистяков С.А. // Изв. вузов. Физика. 1987. С. 52-64.
- [2] Neri J.M., Hammer D.A., Ginet G., Sudan R.W. // Appl. Phys. Lett. 1980. v. 37. N 1. P. 101-103.
- [3] Погребняк А.Д., Ремнев Г.Е., Шулов В.А. и др. // Поверхность. 1990. № 12.
- [4] Yatsui K. // Laser and Particle Beams. 1989. V. 7. part 4. P. 733-741.
- [5] Goncharov O.I., Isakov I.F., Kolodii V.N. et al. Proceedings BEAMS'90.

Научно-исследовательский  
институт ядерной физики  
при Томском  
политехническом  
институте

Поступило в Редакцию  
21 апреля 1991 г.